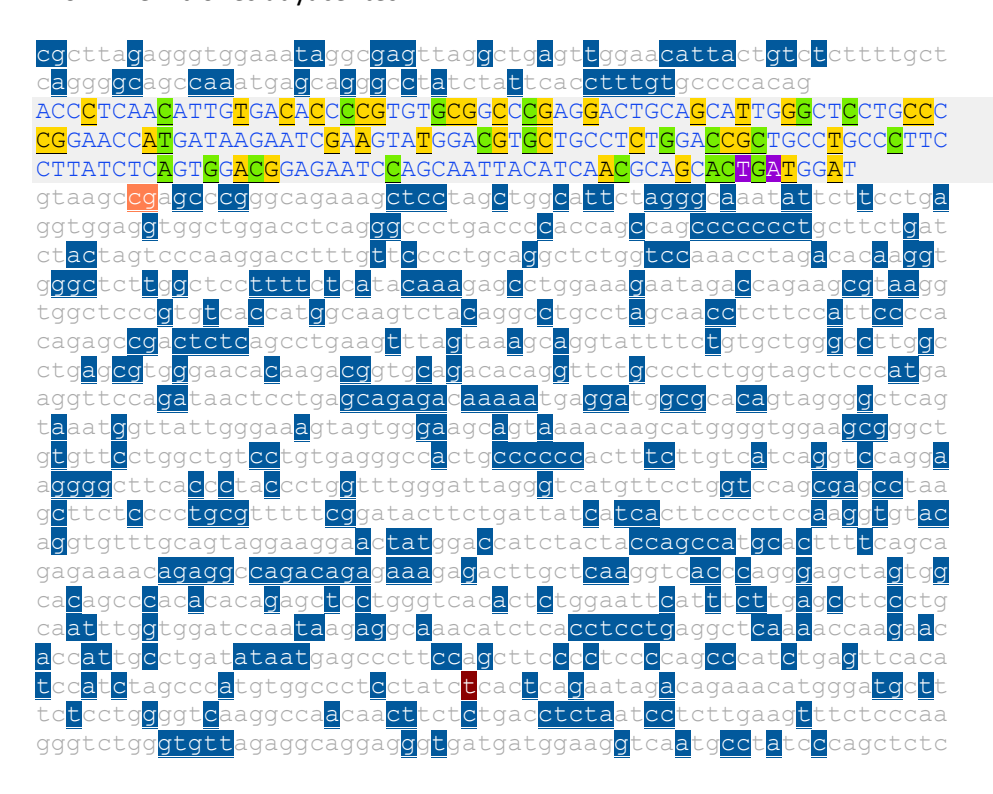
Ejemplo comparación de resultados predictores in sillico

Cambio de estudio PTPRT c.3771+1049T>G (chr20:42101075 T/G, COSV61967072 o NM_007050.6: c.3771+1049T>G)

Exón 27 e intrones adyacentes:



El cambio se encuentra en la antepenúltima línea del intrón 27 (la **t** en color granate).

Se va a obtener los resultados que produce analizar esta variable con los diferente predictores y ver cuál de ellos es más preciso.

NetGene2

Donor splice	sites, direct	t strand				Donor splice s	ites, direct	t strand		
	pos 5'->3' 286 464 520 622	phase 0 1 2 1	strand + + + +	confidence 0.71 0.34 0.45 0.44	5' exon intron 3' ACTGATGGAT^GTAAGCCGAG TAGACACAAG^GTGGGCTCTT GACCAGAAGC^GTAAGGTGGC AGTAAAGCAG^GTATTTTCTG		pos 5'->3' 286 464 520 622	phase strand 0 + 1 + 2 + 1 +	confidence 0.71 0.34 0.45 0.44	5' exon intron 3' ACTGATGGAT^GTAAGCCGAG TAGACACAAG^GTGGGCTCTT GACCAGAAGC^GTAAGGTGGC AGTAAAGCAG^GTATTTTCTG
Donor splice s	sites, comple	ement st	rand			Donor splice s	ites, comple	ement strand		
pos 3'->5' 1221 901	pos 5'->3' 265 585	phase 0 2	-	confidence 0.41 0.34	5' exon intron 3' GCCTCAGGAG^GTGAGATGTT CCAAACCAGG^GTAGGGTGAA	pos 3'->5' 1221 901	pos 5'->3' 265 585	phase strand 0 - 2 -	confidence 0.41 0.34	5' exon intron 3' GCCTCAGGAG^GTGAGATGTT CCAAACCAGG^GTAGGGTGAA
Acceptor spli	ce sites, di	rect str	and			Acceptor splic	e sites, dir	rect strand		
	pos 5'->3' 63 111 147 241 438 588 877 999 1066	0 0 0 1 2 1 1 1 0 0 0	+ + + + + + + + + + + + + + + + + + + +	confidence 0.00 1.00 0.18 0.27 0.43 0.56 0.56 0.33 0.25	5' intron exon 3' TTTTGCTCAG^GGGCAGCCAA TGCCCCACAG^ACCCTCAACA H GCGGCCCGAG^GACTGCAGCA CTTATCTCAG^TGGACGGAGA TCCCCTGCAG^GCTCTGGTCC TTCCCCACAG^AGCCGACTCT TTGTCATCAG^GTCCAGGAAG CCCCTCCAAG^GTGTACAGGT TTTTCAGCAG^AGAAAACAGA TCTCACTCAG^AATAGACAGA		pos 5'->3' 63 111 147 241 438 588 877 999 1066 1289	0 + 0 + 1 + 2 + 1 + 1 + 1 + 0 +	0.00 1.00 0.18 0.27 0.43 0.56 0.56 0.33 0.25	5' intron exon 3' TTTTGCTCAG^GGGCAGCCAA TGCCCCACAG^ACCCTCAACA H GCGGCCCGAG^GACTGCAGCA CTTATCTCAG^TGGACGGAGA TCCCCTGCAG^GCTCTGGTCC TTCCCCACAG^AGCCGACTCT TTGTCATCAG^GTCCAGGAAG CCCCTCCAAG^GTGTACAGGT TTTTCAGCAG^AGAAAAACAGA CCCTCCCCAG^CCCATCTGAG
Acceptor spli						Acceptor splic				
pos 3'->5' 722 646 498	pos 5'->3' 764 840 988	phase 0 0 1	-	0.33 0.31 0.48	5' intron exon 3' CTCTGCTCAG^GAGTTATCTG CCACGCTCAG^GCCAAGGCCC TTCTTTCCAG^GCTCTTTGTA	pos 3'->5' 722 646 498	pos 5'->3' 764 840 988	phase strand 0 - 0 - 1 -	0.33 0.31 0.48	5' intron exon 3' CTCTGCTCAG^GAGTTATCTG CCACGCTCAG^GCCCAAGGCCC TTCTTTCCAG^GCTCTTTGTA

Desaparece un sitio *acceptor* (en azul) de la secuencia WT (que no participa en el *splicing*, por lo que no lo tendremos en cuenta) y aparece uno nuevo (en rojo) en la secuencia mutante. En caso de que fuera identificado como tal por el *spliceosome* y hubiera un sitio *donor* después que se pudiera emplear, podría producirse la inclusión de un exón críptico.

Splice Site Prediction by Neural Network (NNSplice)

Donor site predictions for 10.42.0.139.574296.0:

xon Intron	Score	End	Start
atcgaa gt atggac	0.52	201	187
atggat gt aagccg	0.85	293	279
cacaag gt gggctc	0.88	471	457
agaagc gt aaggtg	0.84	527	513
aagcag gt attttc	0.81	629	615

Acceptor site predictions for 10.42.0.139.574296.0:

Start	End	Score	Intron	Exon
43	83	0.94	attactgt	tcttttgctc ag gggcagccaaatgagcaggg
91	131	0.96	attcacct	tgtgccccac ag accctcaacattgtgacacc
221	261	0.70	gcctgccct	tccttatctc ag tggacggagaatccagcaat
418	458	0.95	aggacctt	gttcccctgc ag gctctggtccaaacctagac
568	608	0.90	aacctctt	cattccccac ag agccgactctcagcctgaag
676	716	0.59	acaggttc	gccctctggt ag ctcccatgaaggttccagat
857	897	0.98	ccccact	tcttgtcatc ag gtccaggaaggggcttcacc
979	1019	0.88	tatcatca	ttcccctcca ag gtgtacaggtgtttgcagta
1269	1309	0.80	cttccagc	tcccctcccc ag cccatctgagttcacatcca
1321	1361	0.50	tggccctc	tatctcactc ag aatagacagaaacatgggat
1395	1435	0.48	tgacctcta	atcctcttga ag tttctcccaagggtctgggt
1406	1446	0.58	cctcttga	egtttctccca ag ggtctgggtgttagaggcag

Donor site predictions for 10.42.1.119.574308.0:

Start	End	Score	Exon Intron
187	201	0.52	aatcgaa gt atggac
279	293	0.85	gatggat gt aagccg
457	471	0.88	acacaag gt gggctc
513	527	0.84	cagaagc gt aaggtg
615	629	0.81	aaagcag gt attttc

Acceptor site predictions for 10.42.1.119.574308.0:

Start	End	Score	Intron	Exon
43	83	0.94	attactgt	ctcttttgctc ag gggcagccaaatgagcaggg
91	131	0.96	attcacct	ttgtgccccac ag accctcaacattgtgacacc
221	261	0.70	gcctgccc	ttccttatctc ag tggacggagaatccagcaat
418	458	0.95	aggacctt	tgttcccctgc ag gctctggtccaaacctagac
568	608	0.90	aacctctt	ccattccccac ag agccgactctcagcctgaag
676	716	0.59	acaggtto	tgccctctggt ag ctcccatgaaggttccagat
857	897	0.98	ccccact	ttcttgtcatc ag gtccaggaaggggcttcacc
979	1019	0.88	tatcatca	cttcccctcca ag gtgtacaggtgtttgcagta
1269	1309	0.80	cttccago	ttcccctcccc ag cccatctgagttcacatcca
1395	1435	0.48	tgacctct	aatcctcttga ag tttctcccaagggtctgggt
1406	1446	0.58	cctcttga	agtttctccca $oldsymbol{ag}$ ggtctgggtgttagaggcag

Desaparece un sitio acceptor en la secuencia mutante. Este está dentro del intrón y no participa en el splicing, por lo que no se tendrá en cuenta.

Spliceman

Point mutation	Wildtype (wt)	Mutation (mt)	Ll distance	Ranking (L1)
ctatc(t/g)cactc	ctcact	egeact	29856	73%

Human Splicing Finder

Alteration of auxiliary sequences	Significa	nt alteration of ESE / ESS motifs ratio (2)				
Algorithm/Matix		position	sequence			
ESE_SRp40 (ESE Site Broken)		chr20:42101075	TCACTCA			
Sironi_motif3 (ESS Site Broken)		chr20:42101077	TCTCACTC			
EIE (New ESE Site)		chr20:42101080	CTATCG			
ESE_SRp40 (New ESE Site)		chr20:42101081	CCTATCG			

SVM-BPfinder

seq_id	agez	ss_dist	bp_seq bp_scr	<pre>y_cont ppt_off</pre>	ppt_len ppt_scr	svm_scr			
wt	33	86	atctgagtt	0.0466669245856	0.55555555556	2	13	19	0.64988276
wt	33	81	agttcacat	-0.512706263568	0.552631578947	1	9	13	0.43732059
Wt	33	48	atctcactc	1.566895133/1	0.441860465116	25	11	24	-0.2008/84
wt	33	44	cactcagaa	-0.414550395741	0.410256410256	21	11	24	-0.73372187
mut	32	85	atctgagtt	0.0466669245856	0.55 2	13	19	0.64808	847
mut	32	80	agttcacat	-0.512706263568	0.546666666667	1	9	13	0.43539411
mut	32	43	cactcagaa	-0.414550395741	0.421052631579	21	11	24	-0.730235

Desaparece un sitio BP en la secuencia mutante, pero como tenía puntuación negativa, no se tendrá en cuenta.

Variant Effect Predictor tool

ENST00000373198.8:c.3771+1049T>G	<u>20:42101075-</u> <u>42101075</u>	С	intron_variant	PTPRT	ENSG00000196090 Transcript	ENST00000356100.6	protein_coding	COSV61967072
ENST00000373198.8:c.3771+1049T>G	<u>20:42101075-</u> <u>42101075</u>	С	intron_variant	PTPRT	ENSG00000196090 Transcript	ENST00000373184.5	protein_coding	COSV61967072
ENST00000373198.8:c.3771+1049T>G	<u>20:42101075-</u> <u>42101075</u>	С	intron_variant	PTPRT	ENSG00000196090 Transcript	ENST00000373187.5	protein_coding	COSV61967072
ENST00000373198.8:c.3771+1049T>G	<u>20:42101075-</u> <u>42101075</u>	С	intron_variant	PTPRT	ENSG00000196090 Transcript	ENST00000373190.5	protein_coding	COSV61967072
ENST00000373198.8:c.3771+1049T>G	<u>20:42101075-</u> <u>42101075</u>	С	intron_variant	PTPRT	ENSG00000196090 Transcript	ENST00000373193.7	protein_coding	COSV61967072
ENST00000373198.8:c.3771+1049T>G	20:42101075- 42101075	С	intron_variant	PTPRT	ENSG00000196090 Transcript	ENST00000373198.8	protein_coding	COSV61967072
ENST00000373198.8:c.3771+1049T>G	<u>20:42101075-</u> <u>42101075</u>	С	intron_variant	PTPRT	ENSG00000196090 Transcript	ENST00000373201.5	protein_coding	COSV61967072
ENST00000373198.8:c.3771+1049T>G	<u>20:42101075-</u> <u>42101075</u>	С	intron_variant	PTPRT	ENSG00000196090 Transcript	ENST00000612229.4	protein_coding	COSV61967072
ENST00000373198.8:c.3771+1049T>G	20:42101075- 42101075	С	intron_variant, NMD_transcript_variant	PTPRT	ENSG00000196090 Transcript	ENST00000617474.1	nonsense_mediated_decay	COSV61967072
ENST00000373198.8:c.3771+1049T>G	<u>20:42101075-</u> <u>42101075</u>	С	intron_variant	PTPRT	ENSG00000196090 Transcript	ENST00000618610.1	protein_coding	COSV61967072

ESEfinder

Se encuentran dos resultados con puntuaciones positivas en las matrices 3'SS (1327 y 1332) y uno con puntuaciones positivas en las matrices 5'SS (1305):

130: (-181)	atccatctagcccatgtggccctcctatct	1.99310	1305 (-181)	atccatctagcccatgtggccctcctatct	-6.27660	1305 atccatctagcccatgtggccctcctatct 1.84160 1305 atccatctagcccatgtggccctcctatct -	-7.61550
132 (-159	itcctatctcactcagaatagacagaaacati	-21.96750	1327 (-159)	tcctatctcactcagaatagacagaaacat	7.31010	1327 (-159) tcctatctcactcagaatagacagaaacat -18.54730 1327 (-159) tcctatctcactcagaatagacagaaacat	7.28890
133 (-154	itctcactcagaatagacagaaacatgggati	-13.45840	1332 (-154)	tctcactcagaatagacagaaacatgggat	1.17670	1332 totoactoagaatagacagaaacatgggat -14.31230 1332 totoactoagaatagacagaaacatgggat	0.96140

1305 aumento muy poco para tenerse encuenta, pero las otras dos bajan las puntuaciones, hasta 1332 pasar a negativa.

1305 (-181) atccatctagcccatgtggccctcctatcg	2.09580	1305 (-181)	atccatctagcccatgtggccctcctatcg	-5.64190	1305 (-181)	atccatctagcccatgtggccctcctatcg	2.09070	130: (-181	atccatctagcccatgtggccctcctatcg	-6.99730
1327 (-159) tcctatcgcactcagaatagacagaaacat -	-21.74810	1327 (-159)	tcctatcgcactcagaatagacagaaacat	5.64690	1327 (-159)	tcctatcgcactcagaatagacagaaacat	-18.33580	132' (-159	tcctatcgcactcagaatagacagaaacat	5.66590
1332 (-154) tcgcactcagaatagacagaaacatgggat -	-12.83850	1332 (-154)	tcgcactcagaatagacagaaacatgggat	-0.48500	1332 (-154)	togcactcagaatagacagaaacatgggat	-13.67240	1332 (-154)	tcgcactcagaatagacagaaacatgggat	-0.60730

Por lo tanto, lo más probable es que se estuviera debilitando y/o perdiendo un sitio *acceptor* en la secuencia mutante.